

## (20) Rayleigh-Ritz法による吊橋架設時の固有振動解析

川田工業㈱ 中崎 俊三

### 1. まえがき

吊橋架設時の耐風安定性を検証する上でその時の固有振動性状は予め把握されなければならない要件である。吊橋架設時の固有振動数の計算はこれまで立体の離散系モデルで行われてきたようであるが、部材数および節点数が非常に多いためにデータ作成ならびに計算にかかる費用は多大なものである。

本文は吊橋完成状態についてハンガーを膜とみなして解析を行なう周知のRayleigh-Ritz法を吊橋架設途上に応用したものと示したもので、膜理論としての特性上、容易に計算値を得ることができる。最初に鉛直面内の静的な問題について各部のポテンシャルエネルギーを求め、その変分より得られた釣り合い方程式が満足されたものであることを確かめ、その後、振動問題について述べる。鉛直振動・捩り振動とも基本的には同一手法で計算できるので、ここでは離散系モデルの場合立体モデルとなる捩り振動について記述し、鉛直振動については省略する。

### 2. 吊橋架設時の静的な問題

#### 2-1 各部のポテンシャルエネルギー

問題を簡単にするためにFig. 1に示すように支間中央付近の桁がまだ架設されていない1ケーブル支間にについて考える。ケーブル支間が複数の場合、桁の中途に架設ヒンジがある場合も基本的には変わらない。

活荷重が作用した時に同図のように変形したとすると例えば $\eta_i$ は次のように表わせる。

$$\eta_i = \delta_i + \delta_A \frac{x}{l_1} \quad (\text{左側の桁に対して}) \cdots \cdots (1)$$

#### (1) 一般部のケーブルポテンシャルエネルギー

完成状態の場合に良く知られているように微少区間のポテンシャルエネルギーは次式で与えられる。

$$dV_c = \frac{1}{2} r \eta_i dx \quad \left. \right\} \cdots \cdots (2)$$

$$r = -H_d \eta'' - H_p y''$$

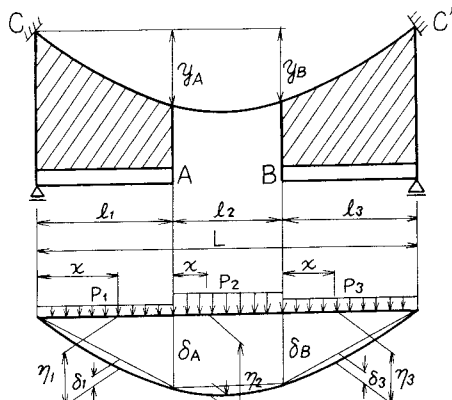


Fig. 1

ここに  $r$ ; 活荷重によるケーブル分担力の増加分,  $H_d$ ; 架設死荷重時のケーブル張力の水平成分

$H_p$ ; 活荷重によるケーブル張力の水平成分,  $y$ ; 架設死荷重時のケーブルの縦距

ケーブル支間について積分すれば、

$$V_{c1} = \frac{1}{2} \sum_1^3 \int_0^{l_i} (-H_d \eta_i'') \eta_i dx + \frac{1}{2} \sum_1^3 \int_0^{l_i} (-H_p y'') \eta_i dx \cdots \cdots (3)$$

#### (2) 架設先端部のケーブルポテンシャルエネルギー

Fig. 2より、架設先端部でケーブル張力の鉛直成分の釣り合いをとる

$$R_1 + W + (H_d + H_p)(y_{20} + \eta_{20}' - y_{1e} - \eta_{1e}') = 0 \cdots \cdots (4)$$

ここに、 $W$ ; 架設死荷重の架設先端ハンガー張力,  $R_1$ ; 活荷重による架設先端ハンガー張力

一方、架設死荷重時には次式が成り立つ。

$$W + Hd(y'_{20} - \eta'_{ie}) = 0 \quad \dots \dots \dots (5)$$

(5)式を(4)式に代入すると

$$R_1 + (Hd + Hp)(\eta'_{20} - \eta'_{ie}) + Hp(y'_{20} - \eta'_{ie}) = 0 \quad \dots \dots \dots (6)$$

$Hd$  に比べ  $Hp$  が充分に小さいと仮定すると

$$R_1 + Hd(\eta'_{20} - \eta'_{ie}) = 0 \quad \dots \dots \dots (7)$$

以上から架設先端部のケーブルポテンシャルエネルギーは次式で表わせる。

$$V_{C2} = \frac{1}{2} R_1 \delta_A + \frac{1}{2} R_2 \delta_B = \frac{1}{2} Hd \{ (-\eta'_{20} + \eta'_{ie}) \delta_A + (-\eta'_{30} + \eta'_{2e}) \delta_B \} \quad \dots \dots \dots (8)$$

### (3) 柄のポテンシャルエネルギー

Fig. 1において柄のポテンシャルエネルギーに関するたわみは  $\delta_1, \delta_3$  であるから柄のポテンシャルエネルギーは次式で表せる。

$$V_g = \frac{1}{2} EI_1 \int_0^{l_1} (\delta''_1)^2 dx + \frac{1}{2} EI_3 \int_0^{l_3} (\delta''_3)^2 dx \quad \dots \dots \dots (9)$$

ただし、 $EI_1, EI_3$  は各々、 $l_1, l_3$  区間の曲げ剛性である。

### (4) 外力のポテンシャルエネルギー

Fig. 1 の各間に作用する活荷重  $P_1, P_2, P_3$  とすると外力のポテンシャルエネルギーは次式で表せる。

$$W = \int_0^{l_1} P_1 (\delta_1 + \frac{\delta_A}{l_1} x) dx + \int_0^{l_2} P_2 (\delta_2 + \delta_A (\frac{l_2-x}{l_2}) + \delta_B \frac{x}{l_2}) dx + \int_0^{l_3} P_3 (\delta_3 + \delta_B \frac{l_3-x}{l_3}) dx \quad \dots \dots \dots (10)$$

### 2-2 ポテンシャルエネルギーの変分と釣り合い式

2-1 で求めた各部のポテンシャルエネルギーの変分をとり、釣り合い式を求めるものとする。

#### (1) (3) 式の第1項の変分

Fig. 3において左端の変位を  $\delta_\alpha$ 、右端の変位を  $\delta_\beta$ 、変位後の左端と右端を結ぶ直線からの変位を  $\delta_i$  とすると全変位  $\eta_i$  に関して次式で表わせる。

$$\eta_i = \delta_i + \delta_\alpha + \frac{\delta_\beta - \delta_\alpha}{l_i} x, \quad \eta''_i = \delta''_i \quad \dots \dots \dots (11)$$

よって、 $-\frac{1}{2} Hd \int_0^{l_i} \eta''_i \eta_i dx = -\frac{1}{2} Hd \int_0^{l_i} \{ \delta''_i \delta_i + \delta''_i \delta_\alpha (\frac{l_i-x}{l_i}) + \delta''_i \frac{\delta_\beta}{l_i} x \} dx \quad \dots \dots \dots (12)$

(12) 式の右辺についての変分を  $x=0, l_i$  において  $\delta_i, \Delta \delta_i = 0$  であることを考慮して行ない、かつ部分積分を施せば次式が得られる。

$$\left. \begin{aligned} \Delta \int_0^{l_i} \delta''_i \delta_i dx &= 2 \int_0^{l_i} \delta''_i \Delta \delta_i dx \\ \Delta \int_0^{l_i} \delta''_i \delta_\alpha (\frac{l_i-x}{l_i}) dx &= -\Delta \delta'_i \delta_\alpha - \delta''_i \Delta \delta_\alpha \\ \Delta \int_0^{l_i} \delta''_i \frac{\delta_\beta}{l_i} x dx &= \Delta \delta'_i \delta_\beta + \delta''_i \Delta \delta_\beta \end{aligned} \right\} \quad \dots \dots \dots (13)$$

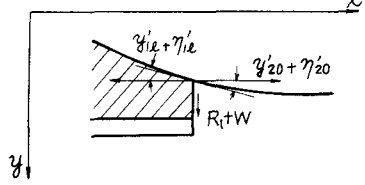


Fig. 2

y

x

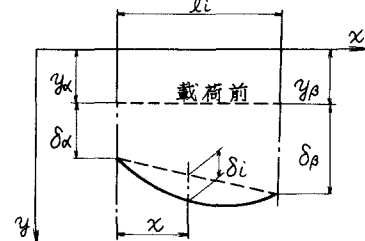


Fig. 3

y

x

(13) 式より、(12) 式の変分は次のようになる。

$$\Delta\left(-\frac{1}{2}H_d \int_0^{l_i} \eta_i'' \eta_i dx\right) = -\frac{1}{2}H_d \left(2 \int_0^{l_i} \delta_i'' \Delta \delta_i dx - \Delta \delta_{i0} \delta_{i0} - \delta_{i0} \Delta \delta_{i0} + \Delta \delta_{il} \delta_{il} + \delta_{il} \Delta \delta_{il}\right) \quad (14)$$

(2) (3) 式の第2項目  $\left(-\frac{1}{2}H_d \int_0^{l_i} y_i'' \eta_i dx\right)$  の変分

ケーブル方程式よりケーブル支間について次式が導かれる。

$$H_d \frac{L_E}{E_c A_c} = \int_0^L y' \eta' dx = \sum_{i=1}^3 \int_0^{l_i} y'_i \eta'_i dx \quad (15)$$

ここに、 $L_E = \int_0^L \sec^3 \varphi dx$  ( $\varphi$ : ケーブル傾斜角),  $E_c A_c$ : ケーブル伸び剛性

(15) 式の  $l_i$  区間の積分を行えば

$$\int_0^{l_i} y'_i \eta'_i dx = - \int_0^{l_i} y_i'' \delta_i dx + (y_{i0} - y_{i0}) \frac{\delta_{i0} - \delta_{i0}}{l_i} \quad (16)$$

(16) 式を(15)式に代入すると  $H_d$  に関して次式が導かれる。

$$H_d = \frac{E_c A_c}{L_E} \sum_{i=1}^3 \left\{ - \int_0^{l_i} y_i'' \delta_i dx + (y_{i0} - y_{i0}) \frac{\delta_{i0} - \delta_{i0}}{l_i} \right\} \quad (17)$$

一方、 $\int_0^{l_i} y_i'' \eta_i dx$  は部分積分により次のように導かれる。

$$\int_0^{l_i} y_i'' \eta_i dx = \int_0^{l_i} y_i'' \delta_i dx + (y_{il} \delta_{i0} - y_{i0} \delta_{il}) - (y_{i0} - y_{i0}) \frac{\delta_{i0} - \delta_{il}}{l_i} \quad (18)$$

(18) 式の内の  $(y_{il} \delta_{i0} - y_{i0} \delta_{il})$  において近似的に  $y_{il} = y_{i+1,0}$  が成り立つとすると各径間を集計すると零となる。よって、

$$\sum_{i=1}^3 \int_0^{l_i} y_i'' \eta_i dx = \sum_{i=1}^3 \left\{ \int_0^{l_i} y_i'' \delta_i dx - (y_{i0} - y_{i0}) \frac{\delta_{i0} - \delta_{il}}{l_i} \right\} \quad (19)$$

(17), (19) 式より

$$-\frac{1}{2}H_d \sum_{i=1}^3 \int_0^{l_i} y_i'' \eta_i dx = \frac{1}{2} \frac{E_c A_c}{L_E} \left[ \sum_{i=1}^3 \left\{ \int_0^{l_i} y_i'' \delta_i dx - (y_{i0} - y_{i0}) \frac{\delta_{i0} - \delta_{il}}{l_i} \right\} \right]^2 \quad (20)$$

(20) 式の変分を行ない、(17) 式を適用すれば、

$$\begin{aligned} \Delta\left(-\frac{1}{2}H_d \sum_{i=1}^3 \int_0^{l_i} y_i'' \eta_i dx\right) &= \frac{E_c A_c}{L_E} \left[ \sum_{i=1}^3 \left\{ \int_0^{l_i} y_i'' \delta_i dx - (y_{i0} - y_{i0}) \frac{\delta_{i0} - \delta_{il}}{l_i} \right\} \right] \sum_{i=1}^3 \left\{ \int_0^{l_i} y_i'' \Delta \delta_i dx - (y_{i0} - y_{i0}) \frac{\Delta \delta_{i0} - \Delta \delta_{il}}{l_i} \right\} \\ &= -H_d \left[ \sum_{i=1}^3 \left\{ \int_0^{l_i} y_i'' \Delta \delta_i dx - (y_{i0} - y_{i0}) \frac{\Delta \delta_{i0} - \Delta \delta_{il}}{l_i} \right\} \right] \end{aligned} \quad (21)$$

(3) (8) 式の変分

$$\eta'_1 = \delta'_1 + \delta_{A1}/l_1, \quad \eta'_2 = \delta'_2 + (\delta_B - \delta_A)/l_2, \quad \eta'_3 = \delta'_3 - \delta_B/l_2 \text{ であるから。}$$

$$\Delta V_{C2} = \frac{1}{2}H_d \left[ \left\{ -\delta'_{20} + \delta'_{1e} - \frac{\delta_B}{l_2} + \delta_A \left( \frac{1}{l_1} + \frac{1}{l_2} \right) \right\} \delta_A + \left\{ -\delta'_{30} + \delta'_{2e} - \frac{\delta_A}{l_2} + \delta_B \left( \frac{1}{l_2} + \frac{1}{l_3} \right) \right\} \delta_B \right] \quad (22)$$

(8) 式を変分する。

$$\Delta V_{C2} = \frac{1}{2}H_d \left\{ \begin{array}{l} -\Delta \delta'_{20} \delta_A - \Delta \delta'_{20} \Delta \delta_A + \Delta \delta'_{1e} \delta_A + \delta'_{1e} \Delta \delta_A - \Delta \delta_B \frac{\delta_A}{l_2} - \delta_B \frac{\Delta \delta_A}{l_2} + 2 \Delta \delta_A \left( \frac{1}{l_1} + \frac{1}{l_2} \right) \delta_A \\ -\Delta \delta'_{30} \delta_B - \Delta \delta'_{30} \Delta \delta_B + \Delta \delta'_{2e} \delta_B + \delta'_{2e} \Delta \delta_B - \frac{\Delta \delta_A \delta_B}{l_2} - \frac{\delta_A \Delta \delta_B}{l_2} + 2 \Delta \delta_B \left( \frac{1}{l_2} + \frac{1}{l_3} \right) \delta_B \end{array} \right\} \quad (22)$$

#### (4) 断面のポテンシャルエネルギーの変分

(9) 式の任意径間について変分し、部分積分を行えば、

$$\Delta V_g = \frac{1}{2} E I_i \int_0^{l_i} 2 \delta_i^{\Delta} \delta_i^{\Delta} dx = E I_i \left\{ [\delta_i^{\Delta} \delta_i^{\Delta}]_0^{l_i} - [\delta_i^{\Delta} \delta_i^{\Delta}]_0 + \int_0^{l_i} \delta_i^{\Delta} \delta_i^{\Delta} dx \right\} \quad (23)$$

$x=0$ ,  $l_i$ において  $\delta_i^{\Delta} = \Delta \delta_i = 0$  であるから

$$\Delta V_g = E I_i \int_0^{l_i} \delta_i^{\Delta} \delta_i^{\Delta} dx \quad (24)$$

#### (5) 活荷重のポテンシャルエネルギーの変分

(10) 式について変分する。

$$\Delta W = \int_0^{l_1} P_1 \Delta \delta_i dx + \int_0^{l_2} P_2 \Delta \delta_i dx + \int_0^{l_3} P_3 \Delta \delta_i dx + (R_{IR} + R_{2L}) \Delta \delta_A + (R_{2R} + R_{3L}) \Delta \delta_B \quad (25)$$

(25) 式において  $R_{iR}$ ,  $R_{iL}$  は、 $i$  径間を単純梁とした時の右側、左側の活荷重反力である。

#### 2-3 釣り合い式

ポテンシャルエネルギーの内、部材に関するものを  $U$ 、外荷重に関するものを  $W$  とすると、体系全体のポテンシャルエネルギー  $\Pi$  の変分  $\Delta \Pi = \Delta U - \Delta W = 0$  の条件より釣り合い式を求める。

#### (1) 既設断部での釣り合い式

$i$  径間について  $\Delta \Pi = 0$  をあてはめると、(14), (21), (24), (25) 式より次式が成り立つ。

$$\int_0^{l_i} (-H_d \delta_i^{\Delta} - H_p y_i^{\Delta} + E I_i \delta_i^{\Delta} - P_i) \Delta \delta_i dx = 0$$

$\Delta \delta_i$  は任意であるから

$$-H_d \delta_i^{\Delta} - H_p y_i^{\Delta} + E I_i \delta_i^{\Delta} - P_i = 0 \quad (26)$$

(26) 式が  $i$  径間での釣り合い方程式であり、 $H_w \gg H_p$  の時の完成吊橋における線形化挠度理論と一致する。

#### (2) 架設先端部での釣り合い式

(14), (21), (22), (25) 式を集計し、 $\Delta \delta_A$ ,  $\Delta \delta_B$  について整理すれば、 $\Delta \delta_A$ ,  $\Delta \delta_B$  は任意であることの条件から次の二式が成り立つ。

$$H_d \left\{ -\frac{\delta_B}{l_2} + \delta_A \left( \frac{1}{l_1} + \frac{1}{l_2} \right) \right\} + H_p \left( \frac{y_A}{l_1} - \frac{y_B - y_A}{l_2} \right) - R_{IR} - R_{2L} = 0 \quad (27)$$

$$H_d \left\{ -\frac{\delta_A}{l_2} + \delta_B \left( \frac{1}{l_2} + \frac{1}{l_3} \right) \right\} + H_p \left( \frac{y_B - y_A}{l_2} - \frac{y_B}{l_3} \right) - R_{2R} - R_{3L} = 0 \quad (28)$$

(27), (28) 式が成り立つことを証明する。Fig. 4において ( $l_1 + l_2$ ) を単純梁とする A 端のモーメントを  $M_A$  とすれば

$$M_A = M_d + M_{l1} + M_{l2} \quad (29)$$

ここに、 $M_d$  ; 死荷重によるもの

$M_{l1}, 2$  径間 1, 2 の活荷重によるもの

$$H_d + H_p = \frac{M_A}{f} \quad (30)$$

$$f = \delta_A + y_A - (\delta_B + y_B) \frac{l_1}{l_1 + l_2} \quad (31)$$

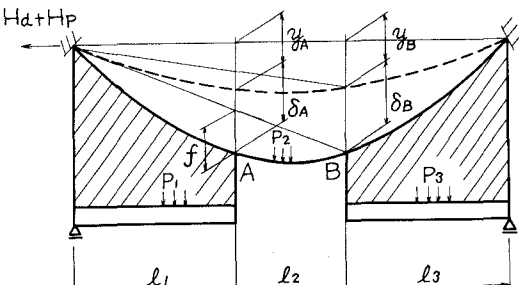


Fig. 4

(29), (31)式を(30)式に代入すると、

$$Hd(y_A - y_B \frac{l_1}{l_1 + l_2}) + Hd(\delta_A - \delta_B \frac{l_1}{l_1 + l_2}) + Hp(y_A - y_B \frac{l_1}{l_1 + l_2}) + Hp(\delta_A - \delta_B \frac{l_1}{l_1 + l_2}) = M_d + M_{el1} + M_{el2} \dots \dots \dots (32)$$

(32)式において  $Hd\{y_A - y_B \cdot \frac{l_1}{l_1 + l_2}\} = M_d$  であることを考慮し、 $Hp\{\delta_A - \delta_B \cdot \frac{l_1}{l_1 + l_2}\}$  を無視して両辺を  $(l_1 + l_2) / (l_1 l_2)$  倍すれば、

$$Hd(\delta_A \frac{l_1 + l_2}{l_1 l_2} - \frac{\delta_B}{l_2}) + Hp(y_A \frac{l_1 + l_2}{l_1 l_2} - \frac{y_B}{l_2}) = \frac{l_1 + l_2}{l_1 l_2} (M_{el1} + M_{el2}) \dots \dots \dots (33)$$

(33)式の左辺は(27)式の左辺に等しい。また、(33)式の右辺と(27)式の( $R_{1R} + R_{2L}$ )の等しいことはFig. 5よりわかる。(a)図は( $l_1 + l_2$ )を単純梁とした時のA桌の曲げモーメントの影響線であり、(b)図は $l_1$ および $l_2$ の単純梁のA桌での支点反力の影響線である。

(a)図の縦距を( $l_1 + l_2$ ) / ( $l_1 l_2$ )倍すれば、(b)図の縦距に一致することがわかる。B桌についてもA桌と同様なことを行えば(28)式が満足する釣り合い式であることがわかる。

### 3. 吊橋架設時の動的な問題

2.において静的な問題の場合、各部のポテンシャルエネルギーの変分より求められた釣り合い式が満足なものであることが確かめられたが、動的な問題においても同様にして釣り合い式を求めるべきは静的な場合の荷重項が慣性力に置き換えられた釣り合い式が得られるのは明らかである。ここでは各部のポテンシャルエネルギーを規準振動形で表示し、Rayleigh eigenvalue-Ritz法にて固有値を求めるものとする。

#### 3-1 逆対称振り振動

##### (1) 振動モードの仮定

振動モードをFig. 6のように仮定する。

$$\varphi_1 = \alpha_1 \sin \frac{\pi}{l_1} x + \frac{b_1}{l_1} x; 0 \leq x \leq l_1 \quad \{ (34)$$

$$\varphi_2 = \alpha_2 \sin \frac{\pi}{l_2} x - \frac{b_1}{l_2} x + b_1; 0 \leq x \leq l_2$$

ここに  $\varphi$ ; 振り角

##### (2) 桁のポテンシャルエネルギーの最大値

桁の振り剛度  $GK_i$  が振動形数に対し通常支配的であるのでその変断面を考慮すれば、

$$Vg = 2 \times \frac{1}{2} ECw \int_0^{l_1} (\varphi_1')^2 dx + 2 \times \frac{1}{2} \sum_{i=1}^n GK_i \int_{l_{i-1}}^{l_i} (\varphi_1')^2 dx \dots \dots \dots (35)$$

ここに、 $ECw$ ; 曲げ振り剛性、 $GK_i$ ;  $i$  区間目の振り剛性 (34)式を微分し、(35)式に代入する。

$$ECw \int_0^{l_1} (\varphi_1')^2 dx = ECw \frac{\pi^4}{2l_1^3} \alpha_1^2 \dots \dots \dots (36)$$

$$GK_i \int_{l_{i-1}}^{l_i} (\varphi_1')^2 dx = GK_i \left[ \alpha_1^2 \left( \frac{\pi}{l_1} \right)^2 \left\{ \frac{1}{2}(l_i - l_{i-1}) + \frac{l_1}{4\pi} (\sin \frac{2\pi}{l_1} l_i - \sin \frac{2\pi}{l_1} l_{i-1}) \right\} \right] + 2\alpha_1 \frac{b_1}{l_1} (\sin \frac{\pi}{l_1} l_i - \sin \frac{\pi}{l_1} l_{i-1}) + (\frac{b_1}{l_1})^2 (l_i - l_{i-1}) \dots \dots \dots (37)$$

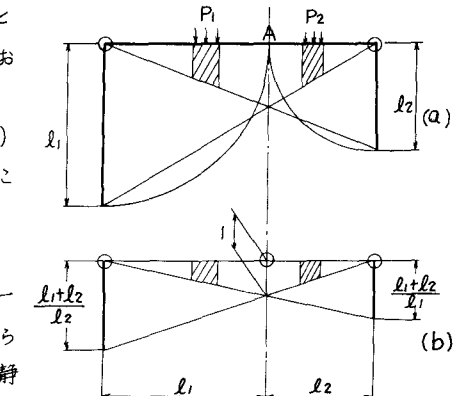


Fig. 5

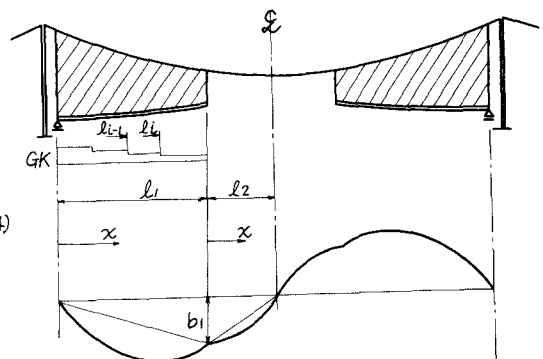


Fig. 6

### (3) ケーブルのポテンシャルエネルギーの最大値

#### 1) 一般部

逆対称振動であるので(3)式の  $H_P = 0$  とする。

$$\text{ゆえに, } V_{C1} = 2 \times \sum_{i=1}^2 \frac{1}{2} \int_0^{l_i} (-H_d \eta_i'') \eta_i dx \quad \dots \dots \dots \quad (38)$$

$\eta = b\varphi/2$  (ただし,  $b$ ; ケーブル間隔) の関係を考慮し、(34)式とその微分値を代入すれば、

$$V_{C1} = \frac{H_d b^2}{4} \left\{ \frac{\pi^2}{l_1} \left( \frac{\alpha_1^2}{2} + \frac{\alpha_1 b_1}{\pi} \right) + \frac{\pi^2}{l_2} \left( \frac{\alpha_2^2}{2} + \frac{b_1 \alpha_2}{\pi} \right) \right\} \quad \dots \dots \dots \quad (39)$$

ただし、 $H_d$  はケーブル2本当たりである。

#### 2) 架設先端部

(8)式と(34)式より、

$$V_{C2} = 2 \times \frac{1}{2} H_d \frac{b^2}{4} (-\varphi'_{20} + \varphi'_{1e}) b_1 = H_d \frac{b^2}{4} (-\alpha_1 \frac{\pi}{l_1} + \frac{b_1}{l_1} - \alpha_2 \frac{\pi}{l_2} + \frac{b_1}{l_2}) b_1 \quad \dots \dots \dots \quad (40)$$

### (4) 運動エネルギーの最大値

$$T = 2 \times \frac{\omega^2}{2g} \left\{ (r_i^2 w_{f1} + \frac{b^2}{4} w_{c1}) \int_0^{l_1} \varphi_1^2 dx + \frac{b^2}{4} w_{c2} \int_0^{l_2} \varphi_2^2 dx + P_C b_1^2 \right\} \quad \dots \dots \dots \quad (41)$$

ここに、 $\omega$ ; 固有円振動数,  $r^2 w_f$ ;  $r$  は回転半径,  $w_f$  は桁部単位長さ当たりの重量

$w_c$ ; ケーブル部単位長さ当たりの重量( $/Br$ ),  $P_C$ ; 架設先端部の極慣性モーメント

(41)式に(34)式を代入すれば、

$$T = \omega^2 \left\{ \frac{r_i^2 w_{f1} + \frac{b^2}{4} w_{c1}}{g} \left( \frac{l_1}{2} \alpha_1^2 + \frac{2l_1}{\pi} (\alpha_1 b_1 + \frac{l_1}{3} b_1^2) \right) + \frac{b^2 w_{c2}}{4g} \left( \frac{l_2}{2} \alpha_2^2 + \frac{2l_2}{\pi} (\alpha_2 b_1 + \frac{l_2}{3} b_1^2) \right) + \frac{P_C b_1^2}{g} \right\} \quad \dots \dots \dots \quad (42)$$

### (5) 振動方程式

(35)～(42)式より、 $T - V$  を求め、 $T - V$  を最小とする条件より  $\alpha_1$ ,  $\alpha_2$ ,  $b_1$  で偏微分し、各々零と置くことにより次の振動方程式が得られる。 基本式を  $(A - \omega^2 B) X = 0$  とすれば  $A$ ,  $B$ ,  $X$  は各々次のようになる。

$$A = \begin{vmatrix} \frac{EC_w \pi^4}{l_1^3} + \frac{H_d b^2 \pi^2}{4 l_1} + \alpha_{11} & 0 & \alpha_{13} \\ 0 & \frac{H_d b^2}{4} \frac{\pi^2}{l_2} & 0 \\ \alpha_{31} & 0 & \frac{H_d b^2}{4} 2(\frac{1}{l_1} + \frac{1}{l_2}) + \alpha_{33} \end{vmatrix}$$

$$B = \begin{vmatrix} \frac{Wl_1}{g} & 0 & \frac{2Wl_1}{\pi g} \\ 0 & \frac{\alpha Wl_2}{g} & \frac{2\alpha Wl_2}{\pi g} \\ \frac{2Wl_1}{\pi g} & \frac{2\alpha Wl_2}{\pi g} & \frac{2}{3g} W(l_1 + \alpha l_2) + \frac{2P_C}{g} \end{vmatrix}$$

$$X = [\alpha_1, \alpha_2, b_1]^T \quad \dots \dots \dots \quad (43)$$

$$\text{ここに } \alpha_{11} = 2\left(\frac{\pi}{\ell_1}\right)^2 \sum_{i=1}^n G K_i \left\{ \frac{1}{2}(l_i - l_{i-1}) + \frac{\ell_1}{4\pi} (\sin \frac{2\pi}{\ell_1} l_i - \sin \frac{2\pi}{\ell_1} l_{i-1}) \right\}$$

$$\alpha_{13} = \alpha_{31} = 2 \frac{\pi}{\ell_1^2} \sum_{i=1}^n G K_i (\sin \frac{\pi}{\ell_1} l_i - \sin \frac{\pi}{\ell_1} l_{i-1}), \quad \alpha_{33} = \frac{2}{\ell_1^2} \sum_{i=1}^n G K_i (l_i - l_{i-1})$$

$$W; V_i^2 W_{f1} + \frac{b^2}{4} W_{c1}, \quad \alpha; \frac{b^2 W_{c2}}{4} / W$$

### 3-2 対称振り振動

#### (1) 振動モードの仮定

振動モードを Fig. 7 のように仮定する。

中央径間に對しては

$$\begin{aligned} \varphi_1 &= \alpha_1 \sin \frac{\pi}{\ell_1} x + \frac{b_1}{\ell_1} x; 0 \leq x \leq \ell_1 \\ \varphi_2 &= \alpha_2 \sin \frac{\pi}{\ell_2} x + b_2; 0 \leq x \leq \ell_2 \end{aligned} \quad \cdots \cdots (44)$$

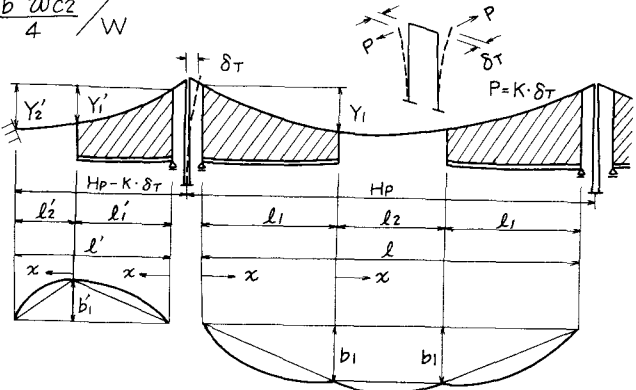


Fig. 7

側径間に對しては

$$\theta_1 = \alpha'_1 \sin \frac{\pi}{\ell'_1} x + \frac{b'_1}{\ell'_1} x; 0 \leq x \leq \ell'_1, \quad \theta_2 = \alpha'_2 \sin \frac{\pi}{\ell'_2} x - \frac{b'_2}{\ell'_2} x + b'_2; 0 \leq x \leq \ell'_2 \quad \cdots \cdots (45)$$

#### (2) 柱のポテンシャルエネルギーの最大値

(36), (37)式と同様にして次式で与えられる。

$$V_g = EC_w \frac{\pi^4}{2\ell_1^3} \alpha_1^2 + EC'_w \frac{\pi^4}{2\ell_1^3} \alpha'^2 + g_c + g_s \quad \cdots \cdots (46)$$

ただし、 $g_c$  と  $g_s$  は (37) 式で与えられるものである。

#### (3) ケーブル一船部のポテンシャルエネルギーの最大値

1) 死荷重ケーブル水平張力  $H_d$  によるもの

(39)式と同様にして吊橋全径間に渡って積分すれば次式を得る。

$$V_{CI} = \frac{H_d b^2}{4} \left\{ \frac{\pi^2}{\ell_1} \left( \frac{\alpha_1^2}{2} + \frac{\alpha_1 b_1}{\pi} \right) + \frac{\pi^2}{2\ell_2} \left( \frac{\alpha_2^2}{2} + \frac{2\alpha_2 b_2}{\pi} \right) + \frac{\pi^2}{\ell'_1} \left( \frac{\alpha'^2}{2} + \frac{\alpha'_1 b'_1}{\pi} \right) + \frac{\pi^2}{\ell'_2} \left( \frac{\alpha'^2}{2} + \frac{\alpha'_2 b'_2}{\pi} \right) \right\} \quad \cdots \cdots (47)$$

2) ケーブル付加水平張力  $H_p$  によるもの

(3)式の第2項目の計算を行なう。なお、 $H_p$  の大きさについては主塔のバネ剛度を考慮するので側径間と中央径間で区別する。 Fig. 7において塔の倒れ量を  $\delta_T$  とすると

$$\delta_T = -(H_p L E c / E c A c - S U C) / 2 \quad \cdots \cdots (48)$$

ただし、 $SUC$  は (24)式の {} 内の中央径間に關する合計値であつてたわみに關する値であるから (53) 式に  $b$  (ケーブル巾) / 2 を乗じる。また、 $H_p$ ,  $A_c$  とも片ケーブル当りとする。一方、ケーブル方程式より次式が得られる。

$$2(H_p - K \cdot \delta_T) L E S / E c A c - 2 S U S + H_p L E C / E c A c - S U C = 0 \quad \cdots \cdots (49)$$

ただし、 $K$  は Fig. 7 で示されるように主塔を振った時の片塔柱当りのバネ剛度である。また、 $SUS$  は  $SUC$  と同様にして側径間(片側)について求めたものである。(49)式に (48)式を代入すると、

$$H_p = \left\{ 2SUS + (1 + \frac{K \cdot LES}{E c A c}) \cdot SUC \right\} / \left\{ \frac{2LES + LEC}{E c A c} + \frac{K \cdot LES}{(E c A c)^2} \right\} = C_1 \cdot SUS + C_2 \cdot SUC \quad \cdots \cdots (50)$$

$H_p$ に関する全橋のポテンシャルエネルギーは次式で与えられる。(17), (20)式を参照すると、

(51)式の $H_p$ ,  $\delta_T$ に各々(48), (50)式を代入する比

$$\nabla C_2 = C_1 \left( 2 + \frac{K \cdot L_{EC}}{E_{CA}C} \right) S_{US}^2 + \{ C_1 + C_2 \left( 2 + \frac{K \cdot L_{EC}}{E_{CA}C} \right) - K \} S_{US} \cdot S_{UC} + C_2 \cdot S_{UC}^2$$

更に簡単に次式で置き換える。  $Vc_2 = A_1 \cdot S \cdot U \cdot S^2 + A_2 \cdot S \cdot U \cdot S \cdot U \cdot C + A_3 \cdot S \cdot U \cdot C^2$  .....(52)

#### (4) 架設先端部のケーブルポテンシャルエネルギー

(8) 式を参考にすれば中央径間、側径間について次式を得る。

$$\nabla c_3 = 2 \times \{ Ha(b/2)^2 (-\varphi'_{20} + \varphi'_{1e}) b_1/2 + Ha(b/2)^2 (-\theta'_{20} + \theta'_{1e}) b'_1/2 \} \quad \dots \dots \dots \quad (53)$$

(53) 式に(44), (45)式を代入すると

$$\nabla c_3 = H d(b/2)^2 \{ (-a_1 \pi / \ell_1 - a_2 \pi / \ell_2 + b_1 / \ell_1) b_1 + (-a'_1 \pi / \ell'_1 - a'_2 \pi / \ell'_2 + b'_1 (\frac{1}{\ell'_1} + \frac{1}{\ell'_2})) b'_1 \} \quad \dots \dots \dots \quad (54)$$

## (5) 主塔のポテンシャルエネルギー

主塔のポテンシャルエネルギーはKが片塔柱当たりであることを考慮すると全橋で次式で表わせる。

$$V_t = 4^* \times \{ K \cdot \delta_T^2 / 2 \} = 2K \cdot \delta_T^2$$

(48), (50)式より

$$Vt = \left\{ \frac{K}{2} \left( \frac{L_{EC}}{E_{C} A_{C}} \right)^2 C_1^2 \right\} S U S^2 + \left\{ K \left( \frac{L_{EC}}{E_{C} A_{C}} \right)^2 C_1 C_2 - K \left( \frac{L_{EC}}{E_{C} A_{C}} \right) C_1 \right\} S U S \cdot S U C$$

## (6) 運動エネルギーの最大値

(41)式と同様にして次式を得る。

$$T = \frac{\omega}{2g} \left\{ 2(r_i^2 w_{f1} + \frac{b^2}{4} w_{c1}) \int_0^{l_1} \varphi_1^2 dx + \frac{b^2}{4} w_{c2} \int_0^{l_2} \varphi_2^2 dx + 2Pcb^2 \right\} + 2(r_i'^2 w_{f1}' + \frac{b^2}{4} w_{c1}') \int_0^{l_1'} \theta_1^2 dx + 2\frac{b^2}{4} w_{c2}' \int_0^{l_2'} \theta_2^2 dx + 2Ps'b^2 \quad (57)$$

ここに、上段が中央径間にに関するもの、下段が側径間にに関するもので定数値の意味は(41)式の時と同じ。

### (7) 振動數方程式

(46), (47), (52), (54), (56)式より、 $T - V$ を求め、 $a_1, a_2, b_1, a'_1, a'_2, b'_1$ について偏微分することにより、(43)式と同様にして振動数方程式が得られる。

$$A = A_1 + A_2 = \begin{vmatrix} A_{11} & A_{12} \\ A_{21} & A_{22} \end{vmatrix} + \begin{vmatrix} A_{21} & A_{22} \\ A_{21} & A_{22} \end{vmatrix} \text{とおくと}$$

$$A_{11} = \begin{vmatrix} EC_w \pi^4 / l_1^3 + Hab^2 \pi^2 / 4l_1 + a_{11} & 0 & a_{13} \\ 0 & Hab^2 \pi^2 / 8l_2 & 0 \\ a_{31} & 0 & Hab^2 / 2l_1 + a_{33} \end{vmatrix}, A_{12} = \begin{vmatrix} EC'_w \pi^4 / l_1'^3 + Hab^2 \pi^2 / 4l_1' + a_{11} & 0 & a'_{13} \\ 0 & Hab^2 \pi^2 / 4l_2' & 0 \\ a'_{31} & 0 & \frac{Hab^2(1/l_1 + 1/l_2)}{2} + a'_{33} \end{vmatrix}$$

ただし、 $A_{112} = A_{121} = 0$ 、 $a_{ij}$ 、 $a_{ij'}$  は(43)式で与えられたものと同様である。  $A_2$  は  $H_P$  及び主塔のポテンシャルエネルギー((52)、(56)式)を偏微分することにより得られたもので、

$$\mathbf{Y} = \begin{vmatrix} 2 \times \frac{8f_1}{\ell_1^2} \frac{\ell_1}{\pi}, 2 \times \frac{8f_2}{\ell_2^2} \frac{\ell_2}{\pi}, \frac{Y_1}{\ell_1} \end{vmatrix}^T, \quad \mathbf{Y}' = \begin{vmatrix} 2 \times \frac{8f'_1}{\ell_1'^2} \frac{\ell'_1}{\pi}, 2 \times \frac{8f'_2}{\ell_2'^2} \frac{\ell'_2}{\pi}, \left( \frac{Y'_1}{\ell'_1} + \frac{(Y'_1 - Y'_2)}{\ell'_2} \right) \end{vmatrix}^T$$

とおくと（なお、 $8f_i/l_{\text{ci}}^2 = w_i/H_d$  として与えられる。）

$$A_{211} = Y \cdot Y^T \cdot (A_3 + A'_3) 2b^2, \quad A_{212} = Y \cdot Y^T \cdot (A_2 + A'_2) b^2/2$$

$$A_{221} = Y \cdot Y^T \cdot (A_2 + A'_2) b^2/2, \quad A_{222} = Y \cdot Y^T \cdot (A_1 + A'_1) b^2/2 \quad \text{となる。}$$

次に運動エネルギーに関するBマトリクスは

$$B = \begin{vmatrix} B_{11} & B_{12} \\ B_{21} & B_{22} \end{vmatrix} \quad B_{21} = B_{12} = 0$$

$$B_{11} = \begin{vmatrix} \frac{W}{g} l_1 & 0 & 2 \frac{W}{g} \frac{l_1}{\pi} \\ 0 & \frac{d_1 W}{g} l_2 & \frac{4d_1 W}{g} \frac{l_2}{\pi} \\ \frac{2W}{g} \frac{l_1}{\pi} & \frac{4d_1 W}{g} \frac{l_2}{\pi} & \frac{W}{g} \left( \frac{2l_1}{3} + 2d_1 l_2 \right) + \frac{2P_c}{g} \end{vmatrix}, \quad B_{22} = \begin{vmatrix} \frac{d_2 W}{g} l_1' & 0 & \frac{2d_2 W}{g} \frac{l_1'}{\pi} \\ 0 & \frac{d_3 W}{g} l_2' & \frac{2d_3 W}{g} \frac{l_2'}{\pi} \\ \frac{2d_2 W}{g} \frac{l_1'}{\pi} & \frac{2d_3 W}{g} \frac{l_2'}{\pi} & \frac{2W}{3g} (d_2 l_1' + d_3 l_2') + 2P_s/g \end{vmatrix} \quad (58)$$

ここに、 $d_1, 2, 3$ は $l_1$ 区間の極慣性モーメント( $R^2 W_f + \frac{b^2}{4} W_C$ )に対する $l_2, l_1', l_2'$ 区間の比率である。

#### 4. 計算例

3. で述べた方法による計算例をTable. 1に示す。

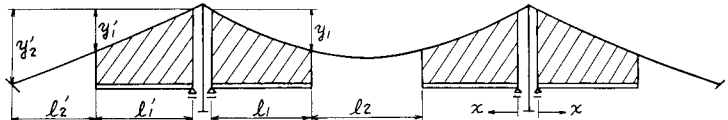
4 Step の計算時間は16秒であった。(UNIVAC 1106)

#### 5. あとがき

吊橋の架設途上の振動計算をハンガーを膜としたRayleigh-Ritz法で解析する方法を示したが、離散系モデルとの差はどの程度か問題になるところであるが、本文で示したモードの仮定で(級数1項のみ)で最大5%程度振動数が高めになるようである。

本文の方法によれば鉛直振動の場合も簡単に計算できるし、架設ヒンジがある場合も可能である。

今後の問題としては連続桁の場合のモードの仮定方法であろう。



		Step 1	Step 2	Step 3	Step 4				
径間長	$l_1$ (m)	150.30	230.46	310.62	370.74				
	$l_2$ (m)	460.90	300.60	140.28	20.04				
	$l_1'$ (m)	49.10	127.66	206.22	235.68				
	$l_2'$ (m)	196.66	118.10	39.54	0				
入力	$l_1$ 区間	0.00191	0.00143	0.00112	0.00100				
	$\frac{8f_i}{l_1^2} = \frac{W_i}{H_d}$	$W_i$	0.00057	0.00042	0.00033				
	$l_2$	"	0.00207	0.00155	0.00122				
	$l_1'$	"	0.00061	0.00045	0.00036				
	$(1/m)$	$l_2'$	"	0.	0.				
デ	ケーブル間隔 $b$ (m)	26	26	26	26				
力	ケーブル縦距 $y_1$ (m)	52	64	72	76				
	$y_1'$ (m)	25	55	80	86				
	$y_2$ (m)	86	86	86	86				
死荷重ケーブル水平張力 $H_d(\lambda_{br})$	8498	11364	14498	16276					
1 タ	ケーブル断面積 $A_C (m^2_{br})$	0.485	0.485	0.485	0.485				
	ケーブルヤング係数 ( $t/m^2$ )	$2.0 \times 10^7$	$2.0 \times 10^7$	$2.0 \times 10^7$	$2.0 \times 10^7$				
	主塔の捩リバネ (K) ( $t/m/c$ )	500	500	500	500				
振	径間	区間	x	K	x	K	x	K	
り			第1	30.06	4.71	30.06	4.71	30.06	4.71
定			第2	70.14	4.32	90.18	4.28	90.18	4.28
数	$l_1$		第3	110.22	4.03	170.34	3.75	170.34	3.75
			第4	150.30	3.73	230.46	3.49	310.62	3.49
断			第1	9.82	3.64	29.46	3.62	29.46	3.62
面	$l_1'$		第2	19.82	3.60	49.10	3.57	88.28	3.57
変			第3	29.82	3.60	88.38	3.57	166.94	3.57
化			第4	49.10	3.60	127.66	3.57	206.22	3.63
架設先端部極慣性(中央) ( $t m^2$ )	40 000	40 000	40 000	40 000	40 000				
" " (側) (m)	40 000	40 000	40 000	40 000	40 000				
$l_1$ の桁部極慣性 ( $t m^2/m$ )	1 026	1 053	1 077	1 088					
$l_1'$ の " "	1 212	1 212	1 154	1 095					
中央径間のケーブル重量 ( $t/m_{br}$ )	4.822	4.822	4.822	4.822					
側径間の " "	5.158	5.158	5.158	5.158					
計算結果	対称振り振動数 (Hz)	0.205	0.270	0.362	0.385				
	逆対称 " "	0.276	0.386	0.354	0.443				

Table. 1

Natural Vibration Analysis of Suspension Bridge during  
Construction by Rayleigh-Ritz Method

Shunzo Nakazaki\*

When the wind stability is studied in case of the cantilever erection of suspension bridge, the natural vibration properties should be known previously.

While the natural frequencies of suspension bridge during construction are usually calculated by the discrete space model, it has cost very much to draw up the data and the calculate.

This paper mentions the application of the membrane theory and Rayleigh-Ritz method, which are usually used to the completed system of suspension bridge with regarding hangers as a membrane, to the suspension bridge during construction.

It is verified that equilibrium equation given by the variation of potential energy of each member is satisfied. In the following is presented a method of calculating frequencies by Rayleigh-Ritz method. It is very easy to get the calculated value because of the property of membrane theory.

\* Engineering Division, Kawada Industries Inc.